

УДК 681.327.636

И. И. Коршевер, П. А. Полозков

(Новосибирск)

АРХИВНЫЙ НАКОПИТЕЛЬ ЦИФРОВЫХ ДАННЫХ  
НА ВИДЕОМАГНИТОФОНЕ

Рассмотрен комплекс программных и аппаратных средств архивной памяти на основе бытового магнитофона. Предложены способы повышения надежности хранения информации путем жесткой синхронизации данных и двухкаскадного помехозащищенного линейного блокового кодирования. Приведены результаты статистического анализа ошибок, полученные при испытаниях опытного образца архивного накопителя.

**Постановка задачи.** Для архивирования больших объемов цифровых данных в современных системах используют магнитные, оптические и магнитооптические внешние запоминающие устройства (ВЗУ). Магнитные ВЗУ характеризуются малой плотностью записи и, как следствие, большой удельной стоимостью хранения бита информации. Стоимость хранения для ВЗУ на оптических дисках в 100 раз ниже, чем для магнитных ВЗУ, но из-за невозможности повторной перезаписи на оптических дисках оба эти типа устройств обычно используются совместно. Сравнительные характеристики различных накопителей цифровых данных [1] приведены в табл. 1. Разрабатываемые в настоящее время магнитооптические накопители предоставляют возможность многократной перезаписи, но пока что их производство дорого.

Таблица 1

Характеристика	Оптические ЗУ	Магнитные ЗУ		
	Оптический диск	НМД	НМЛ	НМЛ повышенной плотности
Емкость, Мбайт	1000—4000	2500	180	2000
Плотность записи, Мбит/см <sup>2</sup>	100	10	0,2	2
Поток записи/считывания, Мбайт/с	0,1—5	0,1—3	1	3
Исходная частота ошибок на 1 бит	10 <sup>-4</sup>	10 <sup>-6</sup>	10 <sup>-6</sup> —10 <sup>-7</sup>	10 <sup>-5</sup> —10 <sup>-6</sup>
Долговечность, лет	10—40	2—3	2—5	1—2
Стоимость хранения, цент/бит	10 <sup>-8</sup> —10 <sup>-9</sup>	10 <sup>-4</sup> —10 <sup>-5</sup>	2 · 10 <sup>-6</sup>	5 · 10 <sup>-6</sup>
Среднее время доступа, мс	100—500	10—30	30000	5000

Таблица 2

Производитель	Продукт	Поток, Мбайт/с	Стоимость, доллар/Мбайт	Частота появления ошибок	Примечание
"Аmprex"	DST 600	15—20	—	$10^{-12}$	Одноролочное устройство емкостью 25—165 Гбайт
"E-systems"	EMASS-1300	15—20	0,04	$10^{-13}$	—
"Metrum"	RSS-600	1,4	0,08	—	600 кассет типа VHS по 10,4 Гбайт на каждой
"Storage Tek"	4400	22—36	0,3	—	16 модулей по 6000 лент по 200 Мбайт на каждой

По всем этим причинам для записи непрерывного потока данных и их долговременного хранения до сих пор по-прежнему, как правило, используют цифровые магнитофоны и архивные накопители, имеющие удельную стоимость хранения порядка  $1,25 \cdot 10^{-8}$  долларов/бит. Основные параметры некоторых типов накопителей на магнитной ленте приведены в табл. 2. В последнее время исключительное распространение получают устройства, работающие с магнитной лентой в технологии HELICAN-SCAN, являющейся ныне стандартом для магнитных архивных систем высокой плотности (наиболее известными изделиями данного типа являются накопители фирмы EXABYTE (США)). В соответствии с этой технологией запись узких дорожек на ленту производится по диагонали, в результате чего плотность записи достигает 30—100 бит/дюйм<sup>2</sup>.

Описываемая здесь разработка представляет собой комплекс программных и аппаратных средств, позволяющих использовать в качестве архивной памяти бытовой видеоманитофон (именно в нем и была впервые применена и применяется поныне технология HELICAN-SCAN), работающий в режиме цифрового магнитофона, а в качестве магнитного носителя — видеокассеты в стандарте VHS.

Удельная стоимость хранения информации того же порядка, что и для оптических дисков ( $2,5 \cdot 10^{-10}$  долларов/бит). Однако низкое качество носителя информации и низкая надежность бытового устройства препятствуют получению приемлемой достоверности считываемых данных ( $10^{-9}$ — $10^{-12}$  ош./бит).

В данной статье для увеличения времени хранения и достоверности считываемой информации при минимальной избыточности цифровых данных на видеоленте предлагается ряд аппаратно-программных решений, суть которых — жесткая синхронизация данных и 2-каскадное помехозащитное кодирование кодом Рида — Соломона (R—S-код) с совокупной избыточностью не более 15 %. Приводятся результаты статистического анализа ошибок при считывании цифровых данных и результаты испытания опытного образца накопителя и его технико-экономические показатели.

Синхронизация цифровых данных. Проблема синхронизации регистрируемых данных в накопителях на магнитном носителе рассмотрена в [2, 3]. В данном проекте для самосинхронизации и сведения к нулю постоянной составляющей регистрируемых данных были использованы средства, заложенные в стандартный телевизионный сигнал чересстрочной развертки [4], генерируемый системой управления бытовым видеоманитофоном, в котором предусмотрена большая избыточность для жесткой строчной синхронизации и привязки уровня сигнала.

Более жесткие требования для синхронизации предъявляются к частоте регистрируемых импульсов, размещаемых внутри периода строчной развертки. Для полосы пропускания видеотракта магнитофона 2—4 МГц и частоты строчной развертки 15 кГц количество бит в каждой строке выбираем равным 128. Тогда погрешность подстройки фазы при считывании не должна превышать 0,2 % от периода синхроимпульсов. Для получения такой точности была использована система автоподстройки частоты и фазы (ФАПЧ), где в петле обратной связи авторегулирования выделяется первая производная разности фаз без потери накопленной интегратором постоянной составляющей. При этом сигнал расстройки частоты стробирующего генератора пропорционален величине  $A + (A - B)/2$ , где  $A$  — текущее значение разности фаз входного и подстраиваемого синхроимпульсов, а  $B$  — предыдущая разность фаз.

Причины и характер появления испорченных данных. Исследование проводилось с помощью специальной программы, написанной на языке С для универсального 32-разрядного сигнального микропроцессора TMS320C30, использованного в макете накопителя [5]. На рис. 1 изображена структура сегментной наклонно-строчной записи двумя головками на видеоленте [6], а также возможные причины и характер появления испорченных данных по результатам этих исследований.

Ошибки при считывании вызваны тремя основными причинами: 1) локальные дефекты носителя, возникающие при изготовлении ленты, продольные царапины и поперечные замятия, появляющиеся при эксплуатации; 2) загрязнение поверхности барабана магнитной головки видеоманитофона в результате осыпания магнитного слоя ленты; 3) возможный срыв синхронизации данных вследствие первых двух причин или в результате колебаний скорости движения ленты, возникающих вследствие длительного засорения магнитных головок и ненормальной реакции автоматической подстройки скорости движения ленты в видеоманитофоне, а также при торможении ленты в видеокассете.

Запись и считывание псевдослучайных последовательностей проводились на различных видеолентах и с помощью двух видеоманитофонов марок "Akai" и "Sanyo". Обозначенные на рис. 1 всплески испорченных данных, возникающие в результате всех указанных причин, кроме засорения головок и длительной потери их контакта с лентой, достаточно равномерно распределяются между сегментами видеозаписи, совпадающими с полукадрами телевизионного поля и простирающимися от края к краю видеоленты под острым углом. Для исправления пакетных ошибок указанного происхождения вполне достаточно организовать коды, блоки которых будут совпадать с полукадрами видеосигнала и которые будут способны исправить несколько пакетов ошибок, составляющих малый процент всего кода (так называемые внутриблочные коды). Размер блока в стандартном полукадре, содержащем 312 строк (на

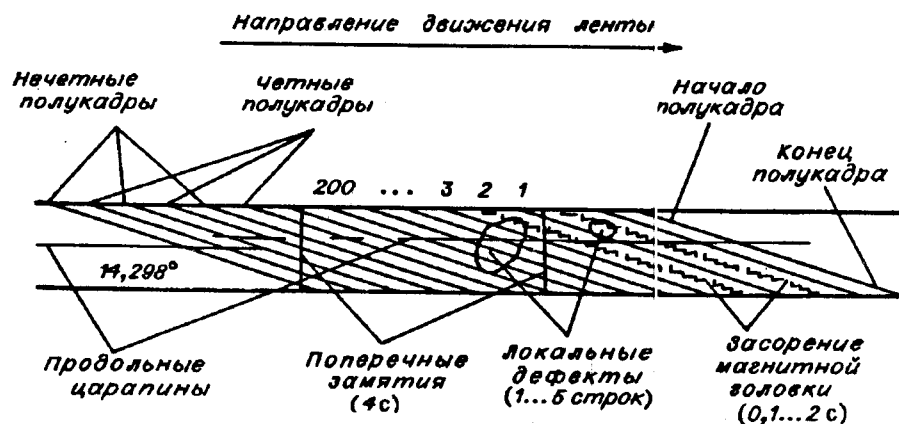


Рис. 1. Сегментная наклонно-строчная запись двумя головками

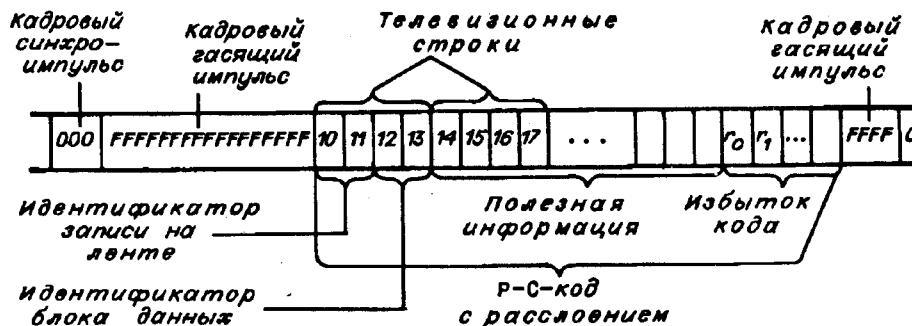


Рис. 2. Структура блока данных на видеоленте

информативную часть изображения остается меньше строк), не превышает  $312 \cdot 128 = 4992$  байта цифровых данных при выбранном объеме информации в строке 128 бит.

Организация блоков данных и блоковых кодов, исправляющих ошибки. Для исправляющих пакеты ошибок кодов Рида — Соломона мультипликативный порядок алфавита символов в кодовом слове кратен длине кода [1]. Наиболее удобным для построения кодера/декодера на универсальном процессоре является ряд алфавитов порядка  $2^m$ , где  $m$  должно делить нацело длину кода, а также для упрощения процесса упаковки/распаковки данных желательно, чтобы  $m = 2^p$ , где  $p = 1, \dots, 5$  для микропроцессора с разрядностью 32 бита. Однако только для  $p = 1, 2$  и  $3$  длина кода меньше предполагаемой длины блока — 4800 байт. Для  $p = 3$  строим P—C-код с расслоением на 16 неукороченных кодовых слов, каждое из которых состоит из 255- и 8-битных символов ( $4096 < 4992$ ). Эти ограничения, между прочим, исключают возможность построения кода в кольце целых чисел.

В качестве пилот-сигналов, вводимых обычно в начале каждого блока при записи на магнитный носитель и образующих дополнительную избыточность информации, целесообразно использовать полукадровые уравнивающие импульсы полного телевизионного кадра. Благодаря этому блоки данных на ленте, защищенные кодами и разделенные полукадровыми импульсами, совпадают с сегментами наклонно-строчной записи на видеоленте. Структура блока данных приведена на рис. 2. Внутри каждого блока первые несколько слов отводятся для идентификации записи на ленте и абсолютного номера блока внутри записи. Такие идентификаторы существенно упрощают процесс поиска начала записи на ленте.

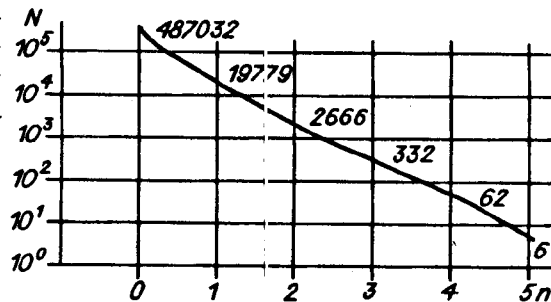
Статистический анализ возникновения ошибок при записи/считывании на видеоленте. Для определения требуемой избыточности внутриблочных кодов Рида — Соломона авторы провели исследование характера ошибок при записи/считывании на видеоленту AGFA с помощью видеоманитофона "Akai". Из графика распределения ошибок на рис. 3 следует, что 500 тыс. блоков данных (полукадров), непрерывно считываемых с видеоленты в течение 3 ч, 19 тыс. содержали по одной испорченной строке, 2,6 тыс. — по две строки, 332 полукадра — по три, 62 — по четыре и 6 полукадров — по пять испорченных строк. Вероятность длительного засорения головок и замедления движения ленты в данном эксперименте была исключена путем предварительной перемотки всей ленты вперед/назад.

Эмпирическая формула вероятности появления неисправляемой конфигурации ошибок в блоке данных при исправлении не меньше  $t$  пакетов ошибок, длина каждого из которых не больше одной телевизионной строки, имеет вид

$$P(t) \text{ ош./блок} = 4,1 \cdot 10^{-2} \cdot 7,5^{-t},$$

где  $t > 0$ .

Рис. 3. Ломаная распределения испорченных строк в блоках данных на видеоленте ( $N$  — число полукадров,  $n$  — число ошибок на полукадр)



Исходная вероятность ошибок, полученная как сумма ошибок, составляет  $4,6 \cdot 10^{-2}$  ош./блок ( $1,4 \cdot 10^{-6}$  ош./бит при размере блока  $256 \cdot 128$  бит). Чтобы получить  $10^{-9} - 10^{-12}$  ош./бит с учетом описанного выше характера исправляемых ошибок, необходимо добиться, по меньшей мере,  $10^{-9} - 10^{-12}$  ош./строку или  $2,5 \cdot 10^{-7} - 2,5 \cdot 10^{-10}$  ош./блок данных. Задав  $t = 8$ , получим вероятность появления неисправляемой конфигурации ошибок в блоке  $P = 6 \cdot 10^{-10}$  ош./блок. Другими словами, число исправляемых блоковым кодом пакетов по  $4 \cdot 32$  бит испорченной информации в каждом блоке должно быть не меньше восьми.

Пользуясь методикой построения исправляющего ошибки кода, описанной в [1], определим требуемое конструктивное межблочное расстояние для заданного числа исправляемых ошибок  $t = 8$ :

$$d = 2t + 1 = 17.$$

Число избыточных символов  $d - 1 = 16$  составляет 6,3 % от длины неукороченного P—C-кода над GF(256).

Исправление блочных ошибок. Восстановление информации, потерянной целыми блоками при длительном засорении головок или в результате сильных колебаний скорости движения ленты, может быть реализовано двумя способами. Первый, более простой, но менее удобный в пользовании способ — это перезапись с верификацией для исключения возникновения так называемых «тяжелых ошибок» при записи и введение повторного считывания данных. Второй способ — дополнительная защита информации от ошибок с помощью таких избыточных кодов, которые, с одной стороны, были бы ортогональны к внутриблочным кодам и, с другой — к пространственному размещению тяжелых ошибок на ленте таким образом, чтобы, как и в случае с «легкими» ошибками, всплески потерянной информации располагались как можно более равномерно между множеством кодов небольшой длины и с малым процентом избыточности. Такой метод борьбы с ошибками особенно необходим во многих применениях, где поток информации непрерывен и нет возможности верификации и повторной ее перезаписи.

Единственно возможным способом распределения тяжелых ошибок является межблочное расслоение информации и образование межблочных кодов вдоль магнитной ленты. При этом чем длиннее простирается элементарный код на ленте, тем меньшая избыточность кода требуется для исправления длительного сбоя. Длина межблочного кода вдоль ленты ограничена в конечном счете только размером одной непрерывной записи на видеоленте.

На рис. 4 изображена структура записи на видеоленте с защитой от ошибок с помощью двойного P—C-кода. Кратность расслоения межблочных кодов может быть установлена программно в зависимости от размера записи и при этом будет наилучшей.

Параметры и программы кодирования/декодирования для межблочных кодов могут быть теми же, что и для внутриблочных. Тяжелые ошибки возникают крайне редко, поэтому их исправление может быть выполнено как «на лету», так и в режиме останова видеоленты в зависимости от предоставленного аппаратного ресурса.

Технико-экономические показатели накопителя. В рамках данного проекта создан контроллер для видеоманитофона, представляющий собой плату



значительном ограничении вычисляемого числа синдромов ошибок для обнаружения безошибочных блоков при восстановлении данных.

#### СПИСОК ЛИТЕРАТУРЫ

1. Типикин А. П., Петров В. В., Бабанин А. Г. Коррекция ошибок в оптических накопителях информации.—Киев: Наук. думка, 1990.
2. Балашов Е. П., Атанасов Д. Х. Накопители информации с подвижным магнитным носителем.—Л.: Энергоиздат, 1982.
3. Щербина В. И. Цифровая звукозапись.—М.: Радио и связь, 1989.
4. ГОСТ 7845-79. Система вещательного телевидения. Основные параметры. Методы измерений.—Взамен ГОСТ 7845-72, ГОСТ 19432-74; Введен 01.01.80.—М.: Изд-во стандартов, 1979.
5. Texas Instruments: Third-Generation TMS320 User's Guide, 1988.
6. Гончаров А. В., Харитонов М. И. Канал изображения видеомэгафона.—М.: Радио и связь, 1983.

*Поступила в редакцию 27 апреля 1994 г.*